

大阪市 土木局 正員 松川昭夫  
 大阪市 土木局 正員 松村 博  
 大阪市 土木局 正員 墓井正博

1.まえがき 北港連絡橋は中央径間300mのモノケーブル自碇式吊橋である。本橋の補剛桁は、図-1に示すような広幅員でかつ桁高の低い逆台形箱桁を有しているが、このような偏平な断面形状においても風琴振動や各種フラッタ振動の発生の恐れがあり、耐風安定性の検討は重要な課題となる。そこで、基本設計で決まった断面(以下、基本断面と呼ぶ)について2次元模型により風洞実験を実施し、空力特性について調査したが、低風速域にて限定振動の生じることが判明した。そこで、この振動を止めるために各種の制振装置の検討を行った。本文では、上記の一連の風洞実験の結果について報告するものである。

2.実験概要 本橋は基本的に4車線構造とし、将来交通量が増加した時点での6車線に拡幅することができるような構造にしている。そのため風洞実験は基本系と拡幅系との2種類とも必要であるが、空力特性としては拡幅系の方が有利となるため、ここでは基本系について述べることにする。2次元模型は縮尺 $1/28$ とし、その外の諸元は表-1に示すようなものとした。ブリケットの先端は添架管を収納するためのスペースである。実験は1)バネ支持試験と2)三分力試験で、風洞の風は一様流とした。

3.実験結果 まず、基本断面についてバネ支持試験を行った。この時の風の迎角は $0^\circ$ ,  $\pm 3^\circ$ ,  $\pm 5^\circ$ ,  $\pm 7^\circ$ の7ケースとし、実橋換算で $100\text{m/s}$ までの風速域で発生する

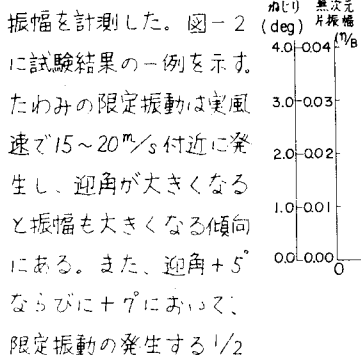
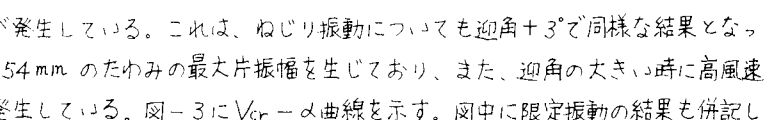


図-2 V-A曲線



の風速で、振幅の若干小さい振動が発生している。これは、ねじり振動についても迎角 $+3^\circ$ で同様な結果となっている。迎角 $0^\circ$ の時、実橋換算で $154\text{mm}$ のたわみの最大片振幅を生じており、また、迎角の大きい時に高風速域ではあるがねじりフラッタが発生している。図-3にVcr-d曲線を示す。図中に限定振動の結果も併記し

ておいた。基本断面では有害な振動の生じることが判明したので、これを抑止するために各種の制振装置を基本断面に付加し、迎角 $\pm 7^\circ$ の範囲内で振動の生じない断面を探すこととした。制振装置としては表-2に示すような、ラップ、フェアリング、ディフレクターなどの代表的なものから、図-4に示すような各種の装置まで考え、単独で付加してバネ支持試験を行った。結果の一部を表-2に示したが、単独ではあまり良好な結果が得られないため、次にそれらを組み合わせて調査したところ、ラップ+スポイラーがもっとも制振効果の大きいことがわかった。そこで、ラップとスポイラーの長さや取付角度等を種々変化させ、最適な案を探し出し、最終的には図-5に示すような装置を基本断面に付加することにより、本四基準フッタ-限界風速内では一切振動の発生しないことが確認できた。

別途実施した水槽内における流れの可視化試験(写真-1)の結果によれば、今回採用した制振装置の効果は次のように考えられる。つまり、基本断面においては、前縁のブレケット先端上部より発生する剥離渦が橋面上を流下し、桁下面後縁より発生する剥離渦との相互作用により後流に大きな渦が生じ、それに伴う変動空気力が桁に作用して振動が誘起されるものと考えられる。それに対して制振装置としてラップとスポイラーを取り付けると、ブレケット先端上部から出る剥離渦はラップによって抑えられ、一方、桁下面後縁から出る剥離渦はスポイラーによって乱され、かつ、一部の渦はブレケット下部内に閉じ込められることにより、大きな渦の発生が抑えられるようである。その結果、桁に作用する変動空気力も小さくなり、振動が抑制されるものと考えられる。図

-6に三分力係数曲線に関する基本断面と制振対策断面との比較を示す。図からもわかるように、基本断面では $+3^\circ$ 付近から $-5^\circ$ が負勾配になっており、対策断面では $+9^\circ$ 付近となっており、制振装置の効果を裏づけている。

#### 4.あとがき 今回の風

洞実験により、空力的に安定した断面を得ることができた。しかしながら、例えば現地の風には風洞内の一樣流と違って乱れが含まれているわけで、本橋の真的耐風安定性を知るためにには、現地の風の特性を調べ、それによる本橋の応答を求めなければならない。そこで、昭和57年より架橋地点において現地風の観測を開始しており、この結果をふまえて3次元風洞実験を行う予定で、それらの成果を総合的に検討して、構造部材の疲労ならびに使用性等に着目した、より簡便で適切な制振装置を採用する予定にしている。なお、終始御指導いただいた京都大学小西一郎名誉教授ならびに大阪大学小松定夫教授に心より感謝いたします。

1) 小松他、大阪北港における自然風の統計学的諸特性に関する研究、昭和59年度 関西支部年講

表-2 代表的な制振装置

制振装置	迎角振動	$\alpha = +7^\circ$	
		たわみ振動	ねじれ振動
ラップ	1m	• 限定振動振幅 3/5に減少	• 限定振動発生せず • フラッターが高風速側にうつる
フェアリング	1m	• 限定振動振幅 1.2倍に増加	• 限定振動振幅 1.4倍に増加 • フラッターが高風速側にうつる
ディフレクター	0.5m 1m	• 制振効果ほとんど無し	同左

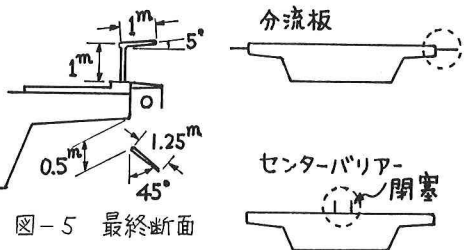
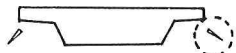


図-5 最終断面



センターバリアー-閉塞



スパイラー

図-4 各種制振装置

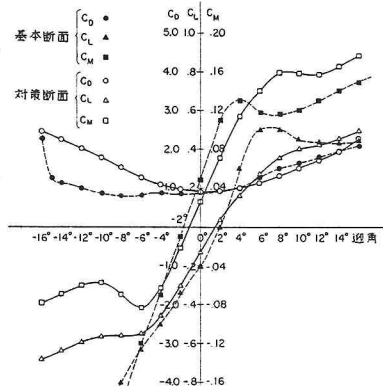
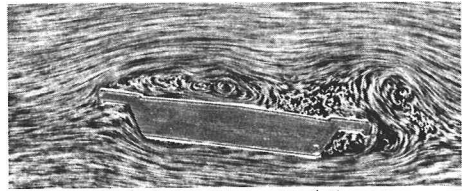


図-6 三分力係数曲線



a) 基本断面

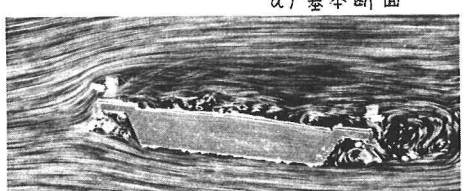


写真-1 可視化試験 b) 対策断面